

## ヘモグロビン生合成に関する研究

### II. ヘモグロビンの CM セルロースカラムクロマト

グラフ分析：ミクロカラムクロマト

グラフ分析法の開発

川崎医科大学 生化学

原野昭雄, 小出智子

同 検査診断学

上田智

同 内科

柴田進

(昭和54年5月7日受付)

### Studies on the Hemoglobin Biosynthesis.

II. Analytical Method of Hemoglobin by CM Cellulose Column Chromatography: Improvement of Microcolumn Chromatographic Method.

Teruo Harano and Tomoko Koide

Department of Biochemistry, Kawasaki Medical School.

Satoshi Ueda

Department of Clinical Pathology

Susumu Shibata

Department of Medicine

(Accepted on May 7, 1979)

**In vitro** で合成されたヘモグロビンの分析に CM セルロース (CM 23 および CM 52) を用いるミクロカラムクロマトグラフィーを開発、応用した。担体による分析値 ( $\beta/\alpha$  比) の差異は殆んどみられず、また従来から用いられている大力ラム法との比較からもミクロカラム法による分析は有効であることがわかった。CM 23 セルロースミクロカラムクロマトグラフィーでの所要分析時間は 3 時間以内と短いものである。本法の臨床診断（特にサラセニア症候群）への応用が期待される。

The improvement and the application of microcolumn chromatography on carboxymethyl cellulose, CM 23 and CM 52, for the analysis of the synthesized hemoglobin *in vitro* were described. The differences of the analytical data ( $\beta/\alpha$  ratio) were hardly observed between the different packages (CM 23 and CM 52).

cellulose). From the comparison of microcolumn chromatography with large column method which has hitherto been used, this method is considered to be more effective for the analysis of the synthesized hemoglobin. The time required for the analysis on the case of CM cellulose microcolumn chromatography is less than 3 hours.

This method will have a wider application to the clinical diagnosis, especially to the diagnosis of thalassemia syndromes.

### はじめに

合成ヘモグロビンの  $\alpha$ -鎖,  $\beta$ -鎖グロビンの分析は CM セルロースによるカラムクロマトグラフィーが主流となっている<sup>1)</sup>. 最近セルロースアセテート膜電気泳動法が合成ヘモグロビンのグロビン分析に応用され, 微量の reticulocyte 溶液を用いる簡易的迅速法が開発された<sup>2)~4)</sup>. この方法は臨床血液学的診断に有用なものと考えられる. しかし正常ないし非貧血性患者血液中に含まれる reticulocyte 数(%)は低く, このような血液による合成ヘモグロビンの微量分析への応用には困難性がある. 先に我々はあらかじめ reticulocyte を濃縮しヘモグロビン合成を行ない比放射活性の高い合成 reticulocyte 溶液を調製することができ微量分析を可能とした<sup>5)</sup>. 今回我々はヘモグロビン合成の改良を行なうと同時に従来から行なわれてきたものより数~10数分の1の試料グロビンを用いる CM セルロースを充填剤としたミクロカラムクロマトグラフィーの開発を試みた.

### 実験材料および方法

合成 reticulocyte 溶液は先の報告<sup>5)</sup>に従って合成したものを用いた. CM セルロース, CM 23 および CM 52 は Whatman Co. のものを購入して使用した. カラムとしては市販のガラス管(内径 6 mm)を長さ 15 cm に切断し, 両端にゴム栓をストッパーとしたものを使用した.

リン酸緩衝液:  $\alpha$ -鎖および  $\beta$ -鎖( $\gamma$ -鎖)グロビンの溶出に用いたリン酸緩衝液はつぎのよ

うに調製し, リン酸で pH: 8.6 に調節した.

(1) CM 23 カラムクロマトグラフィー用リン酸緩衝液:

Buf. I: 50 mM メルカプトエタノール, 8M 尿素を含む 5 mM リン酸二ナトリウム溶液.

Buf. II: 50 mM メルカプトエタノール, 8M 尿素を含む 10 mM リン酸二ナトリウム溶液.

Buf. III: 50 mM メルカプトエタノール, 8M 尿素を含む 25 mM リン酸二ナトリウム溶液.

(2) CM 52 カラムクロマトグラフィー用リン酸緩衝液:

Buf. I': 50 mM メルカプトエタノール, 8M 尿素を含む 8 mM リン酸二ナトリウム溶液.

Buf. II': 50 mM メルカプトエタノール, 8M 尿素を含む 30 mM リン酸二ナトリウム溶液.

グロビンの調製: 合成 reticulocyte 溶液(約 10 g/dl 濃度) 100  $\mu$ l を蒸留水で 3 倍に希釈し, 氷冷, 攪拌下に 1% 塩酸-アセトン(20 ml) 中に滴下し脱ヘムを行なった. 生成したグロビンを 3,000 rpm, 5 分間遠心により集め, アセトンで 3 回洗浄し, 水酸化ナトリウムの入った真空デシケーター中で一夜乾燥した. 約 10 mg のグロビンが回収される.

CM セルロースミクロカラムクロマトグラフィー:

(1) CM 23 ミクロカラムクロマトグラフィーの場合: 0.3 g の CM セルロース(CM 23)を Buf. I (~15 ml) に懸濁させ, 約 10 分間室温に静置, 上層の微細纖維をデカンテーションにより除き, さらに Buf. I を加えて平衡化させた. カラム(内径 6 mm × 長さ 15 cm)に高さ 9 cm になるよう充填し, Buf. I を約 30 分

間流し十分充填する。この際、流速はペリスタルチックポンプを使用し  $0.3 \text{ ml/min}$  に調節しておく。約  $10 \text{ mg}$  のグロビンを Buf. I ( $0.5 \text{ ml}$ ) で溶解したものをカラム充填剤上に重層し、Buf. I で未吸着部を溶出、tube No. 1~4 にそれぞれ  $1.2 \text{ ml}$  ずつ集めた。tube No. 5~29 には同種  $50 \text{ ml}$  用ビーカー 2 個を用いそれぞれに Buf. II および Buf. III を  $30 \text{ ml}$  ずつ入れ並列に連結管でつなぎ、ナトリウムイオン濃度  $0.01 \text{ M}$  から  $0.025 \text{ M}$  の直線的勾配をもった溶液で  $\gamma$ -鎖および  $\beta$ -鎖グロビンを溶出、回収し、最後に Buf. III のみで  $\alpha$ -鎖グロビンを溶出させ tube No. 30~40 に集めた。

(2) CM 52 ミクロカラムクロマトグラフィーの場合： $2 \text{ g}$  の CM 52 を Buf. I' に懸濁させ(1)の場合と同様にカラムに充填し、充填剤の高さを  $9 \text{ cm}$  とした。グロビン約  $10 \text{ mg}$  を Buf. I' ( $0.5 \text{ ml}$ ) に溶解し、カラム充填剤に重層した。溶出液は Buf. I' および Buf. II' を  $50 \text{ ml}$  用ビーカー 2 個に  $30 \text{ ml}$  ずつ入れ連結管で並列につなぎナトリウムイオン濃度  $0.008 \text{ M}$  ~ $0.035 \text{ M}$  の直線的勾配をもった溶出液で溶出を行なった。この際、流速をペリスタルチックポンプを用い  $0.2 \text{ ml/min}$  に調節し、各 tube 中に溶出液  $1.2 \text{ ml}$  ずつを集めた。tube No. 1 ~45 には未吸着部、 $\gamma$ -鎖および  $\beta$ -鎖グロビンを溶出し集めた。 $\alpha$ -鎖グロビンは溶出液を Buf. II' に変え tube No. 46~60 に集められた。

各 tube 中タンパク質分画の吸光度測定：各分画の吸光度測定は Gilford Model 2400-2 を用いセミミクロセルを使用して  $280 \text{ nm}$  で Buf. I または Buf. I' を対照にして比色した。

放射活性の測定：アクアゾール 2 の  $8 \text{ ml}$  が入ったバイアル中に各分画の  $1 \text{ ml}$  を入れ、さらに水  $1 \text{ ml}$  を加えて振盪、ゲル化させ約 30 分室温に放置したのち、液体シンチレーションカウンター (Mark III) で dpm を測定した。各分画 ( $\beta$ -鎖および  $\alpha$ -鎖グロビン) の極大附近 3 点を選び吸光度と放射活性値 (dpm) から比活性を求め、その平均値から  $\beta/\alpha$  比を算出

した。計算式はつぎのようである<sup>1)</sup>。

$$\beta/\alpha \text{ ratio} = \frac{\beta_{RAD}/\beta_{OD} \times \frac{1}{1.52}}{\alpha_{RAD}/\alpha_{OD}}$$

$$\gamma/\alpha \text{ ratio} = \frac{\gamma_{RAD} \times \frac{18}{17} / \gamma_{OD} \times \frac{1}{2}}{\alpha_{RAD}/\alpha_{OD}}$$

## 結果

HbF 含量の高い (HbF: 6 %, アルカリ変性法<sup>2)</sup> で測定) 試料をつかって CM 23 および CM 52 セルロースカラムクロマトグラフィーでの分析例を Fig. 1 に示す。それぞれ未吸着分画、 $\gamma$ -鎖、 $\beta$ -鎖および  $\alpha$ -鎖グロビン分画の順に溶出される。これら  $\gamma$ -鎖、 $\beta$ -鎖および  $\alpha$ -鎖グロビンの同定はセルロースアセテート膜電気泳動法<sup>3)</sup> で行なった。CM 23 セルロースカ

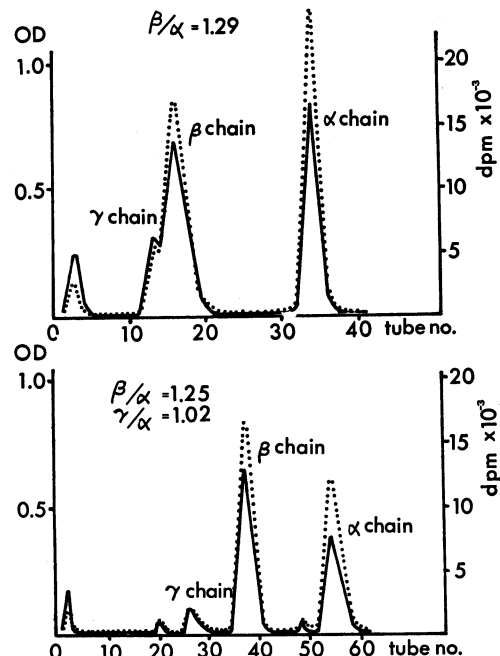


Fig. 1. Separation of globin chains from peripheral blood and estimation of  $\beta/\alpha$  ratio (and  $\gamma/\alpha$  ratio) by chromatography on CM 23 (upper) and CM 52 (lower) carboxymethylcellulose in  $8 \text{ M}$  urea at pH 6.8. Sample: from patient with aplastic anemia (Hb F content: 7.0%). Solid line: absorbance at  $280 \text{ nm}$ . Dotted line: radioactivity.

ラムクロマトグラフィーの場合は  $\gamma$ -鎖グロビンのピークが  $\beta$ -鎖グロビンピークの前に肩として現われ pre- $\beta$ -鎖グロビン（酸化された  $\beta$ -鎖グロビン（？）または N 末端にグルコースの結合した  $\beta$ -鎖グロビン）との差別が困難である。CM 52 セルロースカラムクロマトグラフィーでは各鎖グロビンがそれぞれ単一ピークとして現われ  $\gamma/\alpha$  比および  $\beta/\alpha$  比の測定を正確に成し得るが CM 23 セルロースカラムクロマトグラフィーの場合はこれに比べやや高値を示した (Fig. 1)。これは CM 23 セルロースによる  $\gamma$ -鎖と  $\beta$ -鎖グロビンの分離が不十分なためであるが、HbF 含量の少ない試料であれば殆んど両者間での差異は認められない。また、数倍量のグロビンを使用した CM 23 セルロースカラムクロマトグラフィーでの結果はミクロカラムクロマトグラフィーの  $\beta/\alpha$  比との間に大差は認められなかった。この方法による  $\beta$  サラセミア患者の合成ヘモグロビン分析への応用

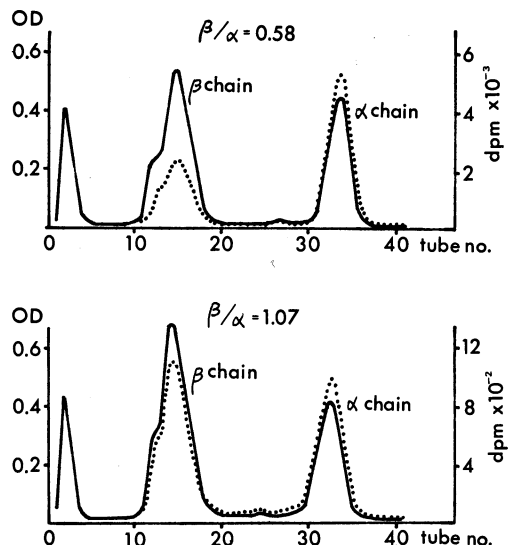


Fig. 2. Separation of globin chains and estimation of  $\beta/\alpha$  ratio from  $\beta$  thalassemic patient (upper) and normal adult (lower). Solid line: absorbance at 280 nm. Dotted line: radioactivity,

は Fig. 2 の如くであり  $\beta$  サラセミアの判定が可能であった。

## 考 察

合成ヘモグロビンのグロビン分析を従来の大カラムのかわりに、大きさ  $6 \text{ mm} \phi \times 15 \text{ cm}$  (充填剤の高さ 9 cm) のミクロカラムを用いて分析を行なえるようにしたが従来のものと殆んど差異のない結果が得られた。待來のものは使用する分析試料 (グロビン) 量が数十ミリグラムから百数十ミリグラムと多量のものが用いられたが、本法では十ミリグラム程度の試料があれば十分分析を行なうことができる。しかし、この方法では合成ヘモグロビン中の放射性物質 ( $^{14}\text{C}$ -(U)-ロイシン、比放射活性 250  $\mu\text{Ci}/\text{mmol}$  のものを 7.5  $\mu\text{Ci}$  使用している) の取り込み具合が分析結果にも大きく影響することはいうまでもない。さらに比放射活性の高い (例えば  $^3\text{H}$ ) 物質を用いることが望ましい。放射性物質の取り込み具合の悪い試料での分析結果は良好とはいえず合成ヘモグロビンの状態如何により本法による分析の可否は決まる。先の報告<sup>3)</sup> のように正常あるいは非貧血性血液のように reticulocyte 数の低い (1% 以下) 場合には reticulocyte の濃縮された reticulocytes rich red cell による合成ヘモグロビンの溶血液を使用することが望まれる。本法による分析時間は CM 23 セルロースの場合は 2 時間 45 分と短時間で行なえるが、CM 52 セルロースの場合では 6 時間を要する。両者間での分析結果には殆んど差異はなく、迅速分析には CM 23 セルロースクロマトグラフィーで十分である。

今後、本法の臨床診断 (特にサラセミア症候群) への応用が期待される。

本研究は川崎医科大学昭和53年度プロジェクト研究費 (53-104) で行なった。

## 文 献

- 1) Huisman, T. H. J. and Jonxis, J. H. P.: "The hemoglobinopathies" Techniques of identification. Clin. Biochem. Anal. Vol. 6. Marcel Dekker, Inc., New York, 1977, p. 195
- 2) Ueda, S. and Shibata, S.: A simple radioisotope-labeling method for estimation of globin-chain biosynthesis ( $\alpha/\beta$  ratio) in vitro: Use of urea cellulose acetate membrane electrophoresis in combination with liquid scintillator counting. Kawasaki Med. J. 3 : 141—143, 1977
- 3) Vettore, L., Matteis, M. C., Bassetto, M. A. and Pepe, G. M.: Biosynthetic ratio of labelled globin chains in human reticulocytes, determined by electrophoresis on cellulose acetate. Hemoglobin. 2 : 129—141, 1978
- 4) Salmon, J. E., Nudel, U., Schiliro, G., Natta, C. L. and Bank, A.: Quantitation of human globin chain synthesis by cellulose acetate electrophoresis. Anal. Biochem. 91 : 146—157, 1978
- 5) 原野昭雄, 岡田美恵子, 上田智, 柴田進: ヘモグロビン合成に関する研究. I. 末梢血液の reticulocytes の濃縮について. 川崎医会誌. 5 : 92—96, 1979